

Difrakce

1600 ... Ch. Huyghens mohl vložit svou teorii světla
Ta je ovšem nepřesná, protože
I. Newton zastával korpuskulární teorii

Huyghens předpokládal, že každý bod, kterého dosahne světlova vlna se stane zdrojem kulových vln. Předpokládal, že se vlna směřuje vpřed. Na základě toho byl schopen odvodit zakony odrazu a lomu, ale nemohl vysvětlit odchylky od rectilinearického směru, kdy světlo integruje s překážkou (difrazení živy)

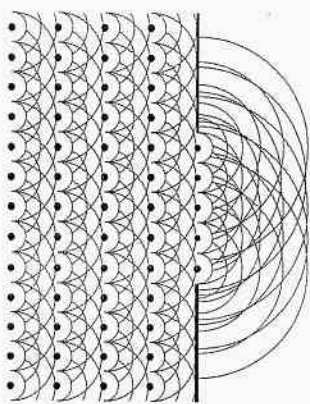
1816 Fresnel dohněl interferenci; a tím difrazení živy vysvětlil. Rovněž dohněl tot. směrový faktor. Tím formuloval Huyghensův princip matematicky.

Huyghensův princip lze použít za základu izotropie prostoru. Každá povaha vytvářená v dostatečně malém objemu izotropního prostoru ne je této oblasti vůbec směry. Vlny spolu interferují (superpozice vln).

Matematicky je Huyghens - Fresnelův princip popsán Kirchhoffovou difrazením integrálem (odvození nejpr. P. Malý - Optika). Tento integrál je založen na skalární difrazení teorie, která naznačuje vlny charakter polí a tím polarizací živy.

(2)

Apertura



P bod pozorování

$$\vec{F} = (x-x')\hat{x} + (y-y')\hat{y} + z\hat{z}$$

$$E(x,y,z) = E(x',y',0) \frac{e^{ikr}}{r}$$

$$r = \sqrt{(x-x')^2 + (y-y')^2 + z^2}$$

Fresnelov difrakční integrál

$$E(x,y,z) = -\frac{i}{\lambda} \iint_{\text{aper.}} E(x',y',0) \frac{e^{ikr}}{r} dx'dy'$$

1884 Kirchhoff Fresnelov (Huyghens - Fresnelov)
integrál rendrální degradace snímaního faktoru

$$E(x,y,z) = -\frac{i}{\lambda} \iint_{\text{aper.}} E(x',y',0) \frac{e^{ikr}}{r} \left(\frac{1 + \cos \theta}{2} \right) dx'dy'$$

Snímač' faktor je 1 pokud $\theta=0$ (průsečík linií)

Snímač' faktor je 0 pokud $\theta=\pi$ (opětne' sítí)

Tím je odshanění problem s Fresnelovou integrálem, který na začátku Huyghensova principu nebyl všechny i sítěni opětne' svrhny, když se ovšem experimentálně neprovozí.

Výpočet Kirchhoff-Fresnelova integrálu je obtížný! (3)
Proto se v max. používají jeho dve approximace
- Fresnelova a Fraunhoferova.

Fresnelova approximace - $\theta=0$, $r \approx z$ ne
jdekovateli integrálu

$r \approx r$ exponenciálně approximovat jako z , protože
fázový vlny se méně mísí a vlivuje menší na
amplitudu. Pouze tato approximace poskytuje
Taylorovu rozvoje

$$r = z \sqrt{1 + \frac{(x-x')^2 + (y-y')^2}{z^2}} \approx z \left(1 + \frac{(x-x')^2 + (y-y')^2}{2z^2} \right)$$

$$E(x,y,z) = \frac{-i}{\lambda z} e^{ikz} e^{i\frac{k(x^2+y^2)}{2z}} \iint_{\text{xy}} E(x',y',0) e^{i\frac{k(x'^2+y'^2)}{2z}} e^{-i\frac{k}{2z}(xx'+yy')} dx' dy'$$

Fresnelova approximace k-F difrakčního integrálu

? kdy lze použít?

Musí platit $\frac{(x-x')^2 + (y-y')^2}{z^2} \ll 1$

Přes určité zodružování je výpočet k-F integrálu
i ve Fresnelové approximaci. Samplisovaný
a metoda případně je možno použít numericky.

Další approximaci k-F integrálu nazvale Fraunhofer. (4)

Jedna' se o třv. approximaci nadélkovského pole.

V tomto případě budeme mědždat, že platí

$$e^{i \frac{\lambda}{2z} (x'^2 + y'^2)} \approx 1$$

Platnost této approximace záleží na porovnání 'relativní apertury a vzdálosti', než je 'porovnání difrakčních obrazů'.

$$Tj. \quad 2 \gg \frac{\lambda}{2} (\text{průměr apertury})^2$$

\Rightarrow

$$E(x_0, y_0, z) \approx -i \frac{1}{\pi z} e^{ikz} e^{ik \frac{(x_0^2 + y_0^2)}{2z}} \iint_{ap.} E(x', y', 0) e^{-i \frac{\lambda}{2z} (xx' + yy')} dx' dy'$$

Např. ... mechat' & apertura $j \approx 10^{-4} \text{ m}$

$$\lambda = 600 \text{ nm} = 6 \times 10^{-7} \text{ m}$$

$$\begin{aligned} 2 \gg \cdot \frac{2\pi}{2\lambda} \cdot (10^{-4})^2 &= \frac{3}{6 \times 10^{-7}} \cdot 10^{-8} \text{ m} \\ &= 0.5 \times 10^{-1} \text{ m} = 5 \text{ cm} \end{aligned}$$

Fraunhoferova approximaci lze použít na vzdělkovské nejméně nedolní desetinu od apertury o průměru 100 μm.

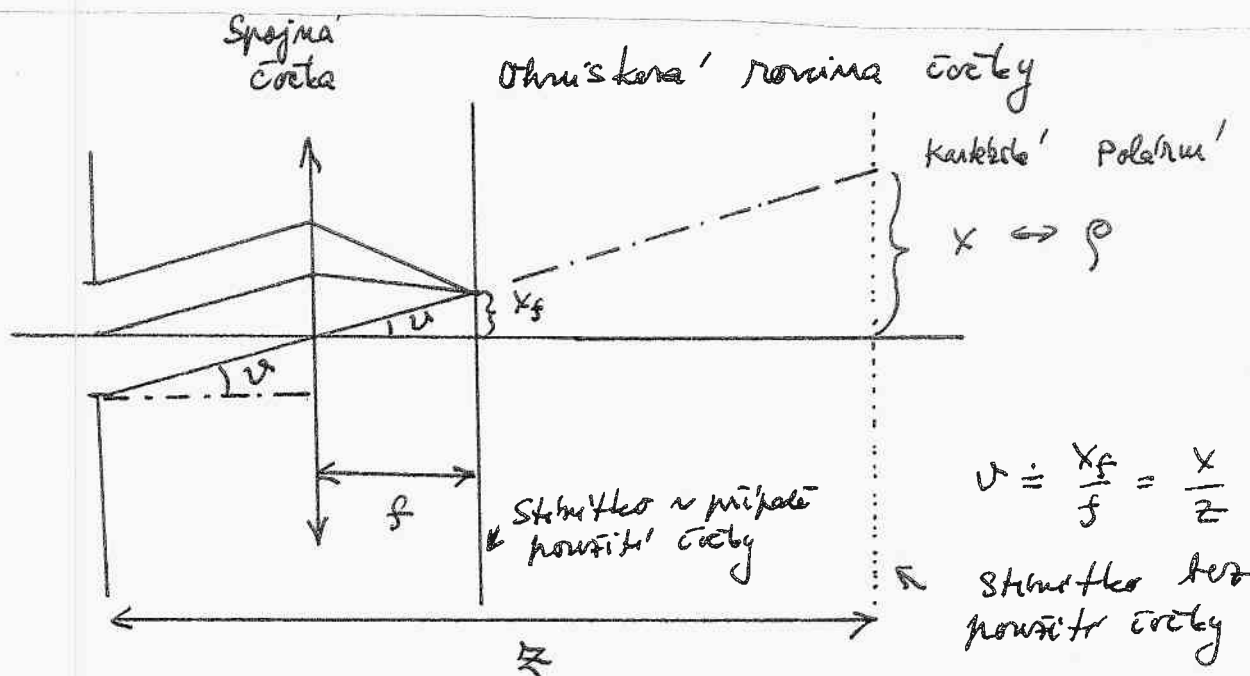
Frauenhoferova approximace na čterech ohniv. (5)
 nebo obdob. vzdáleností vzdoru
 (medg. $E(x,y,z) = E_0$)

$$E(x,y,z) = -i \frac{e^{iz}}{\pi} e^{ik\frac{(x^2+y^2)}{2z}} E_0 \int_{-\frac{a}{2}}^{\frac{a}{2}} dx' e^{-i\frac{kxx'}{z}} \int_{-\frac{b}{2}}^{\frac{b}{2}} dy' e^{-i\frac{kyy'}{z}}$$

$$\int_{-\frac{a}{2}}^{\frac{a}{2}} e^{-i\frac{kxx'}{z}} dx' = -\frac{z}{ikx} \left[e^{-i\frac{kx}{2}} \frac{a}{2} - e^{i\frac{kx}{2}} \frac{a}{2} \right] =$$

$$= \frac{2i\frac{z}{kx}}{ikx} \sin \frac{akx}{2z} = \frac{2z}{kx} \sin \frac{akx}{2z} = a \cdot \frac{2z}{akx} \sin \frac{akx}{2z}$$

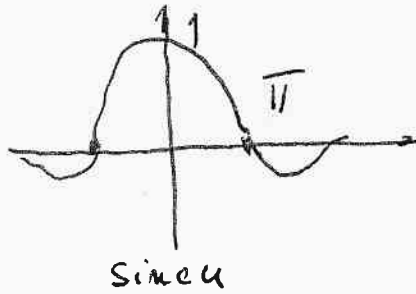
$$= a \sin u \quad u = \frac{akx}{2z} = \frac{ax}{2z} \cdot \frac{2\pi}{\lambda} = \frac{a\pi x}{\lambda z} \doteq \frac{a\pi}{\lambda z} + \varphi$$



$$\tan u = v = \frac{x}{z} \text{ bez použití čočky}$$

$$\tan u = v = \frac{x_f}{f} \quad \text{s použitím spujné čočky} \quad \text{a} \quad \text{ohnividem rovinou f}$$

$$1. \text{ nulay' brod } u = \frac{akx}{2z} = \bar{v} \Rightarrow x = \frac{\lambda z}{a} \quad (6)$$



$$x \approx \frac{1}{2}$$

Die wellen je. sterhne,
die sind je. zentraler max

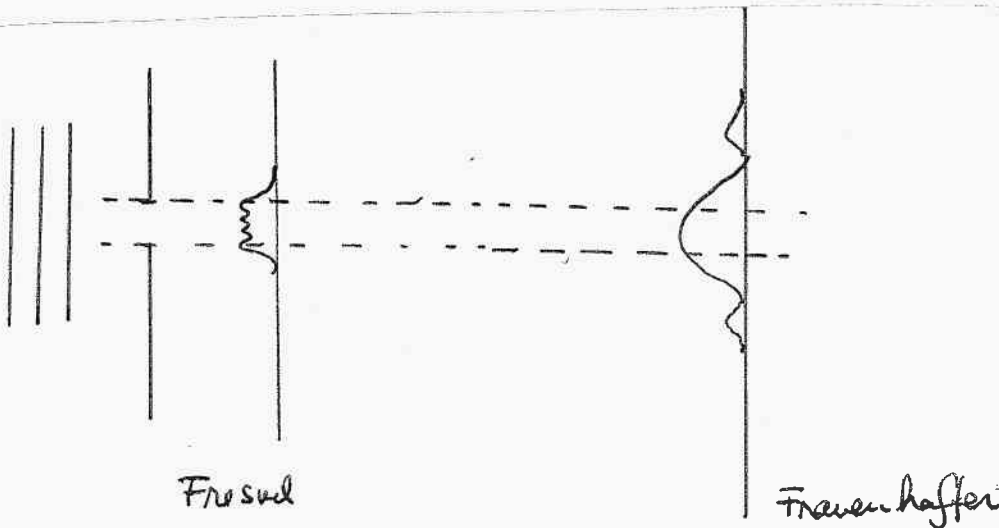
Integrale we schreien sie rechte analogie

Pack integrale we schreien sie

$$I = \frac{1}{2} \epsilon_0 c E_0^2 \left(-\frac{i}{\lambda}\right) \cdot \left(+\frac{i}{\lambda}\right) \cdot \frac{1}{2z} (\sin u)^2 (\sin v)^2$$

$$\text{kde } v = \frac{\pi}{\lambda} \frac{by}{z}$$

$$I = \frac{1}{2} \epsilon_0 c E_0^2 \cdot \frac{1}{\lambda^2 z^2} (\sin u)^2 (\sin v)^2$$



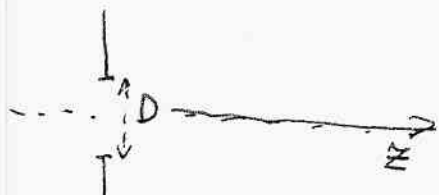
Difrakce me závorkou otráva

(2)

- Fresnelova aproximace - obecně stejné výsledek. Združuje je pro rozložení pole a intenzitu me otevřenou.

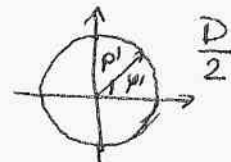
Předp... me závorkou aperturu dospadí rovinu nenu, zároveň me rovinu apertury

Poliční souřadnice



$$x' = \rho' \cos \varphi$$

$$y' = \rho' \sin \varphi$$



V aperturě pole

jsou stejné

$$E(0,0,z) = -i \iint E_0 \frac{e^{ik\sqrt{x'^2+y'^2+z^2}}}{\sqrt{x'^2+y'^2+z^2}} dx dy \quad E(x,y,0) = E_0$$

(protože v místech mimo

$$(x-x')^2 + (y-y')^2 + (z-z')^2 = x'^2 + y'^2 + z^2$$

($z'=0$ -- geometria v tomto $z'=0$

$x=0$ $y=0$ (studuje se jiná pravého pole me otevřené z)

$$E(0,0,z) = -i \iint_{0,0}^{2\pi, D/2} E_0 \frac{e^{ik\sqrt{\rho'^2+z^2}}}{\sqrt{\rho'^2+z^2}} \rho' d\rho' d\varphi$$

$$\xi = \sqrt{\rho'^2+z^2} \quad d\xi = \frac{\rho' d\rho'}{\sqrt{\rho'^2+z^2}}$$

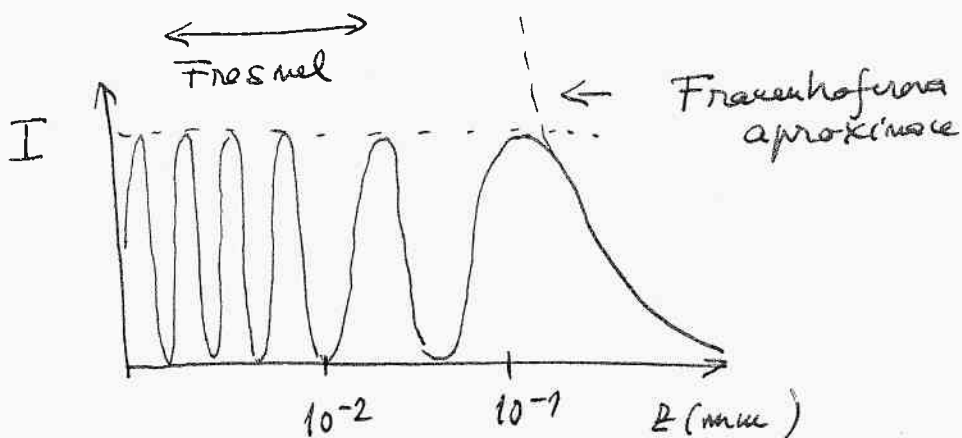
$$E(0,0,z) = -\frac{i E_0 \cdot 2\pi}{\lambda} \int_{\xi_1}^{\xi_2} e^{ik\xi} d\xi \quad \xi_1 = z \quad \xi_2 = \sqrt{(D/2)^2 + z^2}$$

$$E(0,0,2) = -\frac{iE_0 \cdot 2\pi}{ik\lambda} \cdot (e^{i k \xi_2} - e^{i k \xi_1}) = \quad (8)$$

$$= -E_0 \left[e^{i k \sqrt{(\frac{D}{2})^2 + z^2}} - e^{i k z} \right]$$

$$I \sim E_0 E_0^* = E_0^2 \left[e^{i k \sqrt{(\frac{D}{2})^2 + z^2}} - e^{i k z} \right] \cdot \left[e^{-i k \sqrt{(\frac{D}{2})^2 + z^2}} - e^{-i k z} \right]$$

$$= 2E_0^2 \left[1 - \cos \left(2\sqrt{\frac{D^2}{4} + z^2} - kz \right) \right]$$

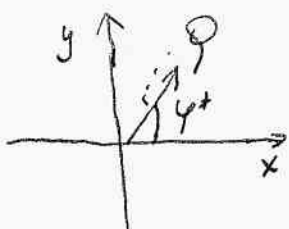


$$\text{Praemer } D = 20\lambda$$

Fraunhofer approximation

$$I(\rho, z) = I_0 \left(\frac{\pi D^2}{4\lambda z} \right)^2 \left[2 \frac{J_1 \left(\frac{k D \rho}{2z} \right)}{\frac{k D \rho}{2z}} \right]^2$$

V rövine střímkha

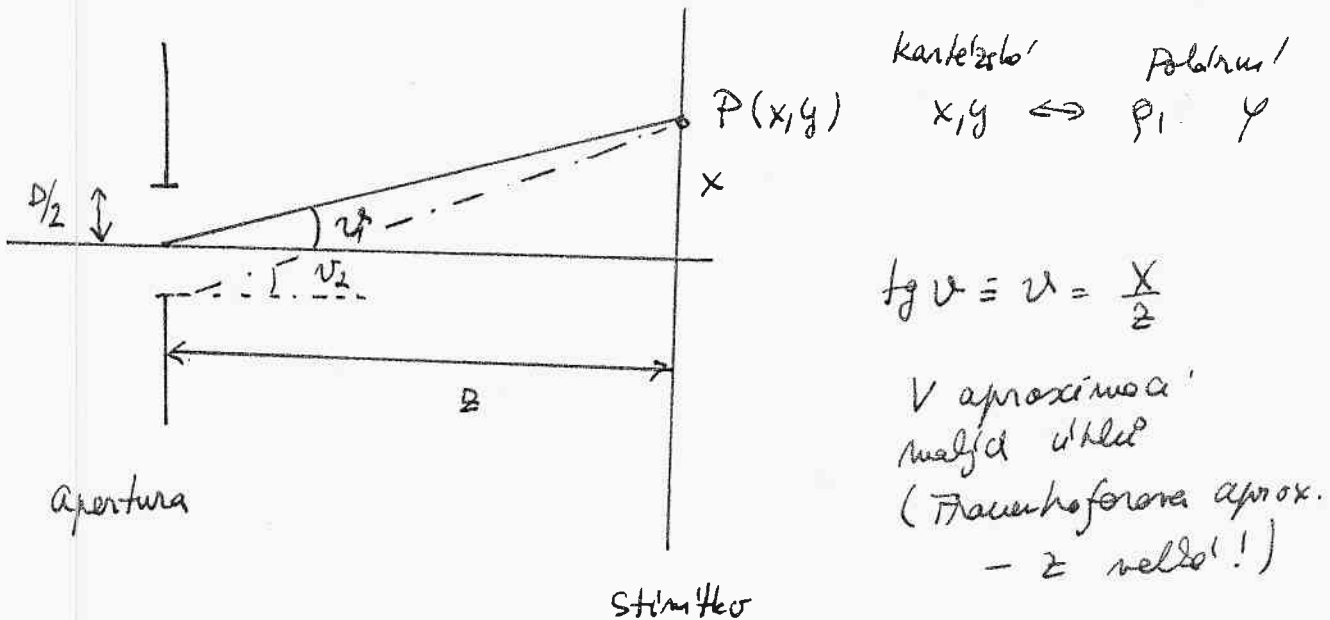


Polarne souřadnice
v rövine střímkha

Funkce $J_1 \left(\frac{k D \rho}{2z} \right)$.. Besselova funkce 1. druhu

$$\text{Označme } \gamma = \frac{k D \rho}{2z}$$

(9)



$$\operatorname{tg} v = u = \frac{x}{z}$$

V approximač.
malý úhel
(Fraunhoferova approx.
- je velký!)

Zobrazení difrakčního obrazu
apertury bez použití optiky. K intenzitě
srážky v bodě P přispívají všechny body apertury.
Ukoly v_i jsou vzhledem k velké vzdálenosti
z přibližně stejné $v_i \approx \frac{x}{z} \approx \operatorname{tg} v_i = \sin v_i$.

$$I = 2 \cdot \frac{D}{z} \sin v_i \approx 2 \frac{D}{z} v_i = 2 \frac{D}{z} \frac{x}{z}$$

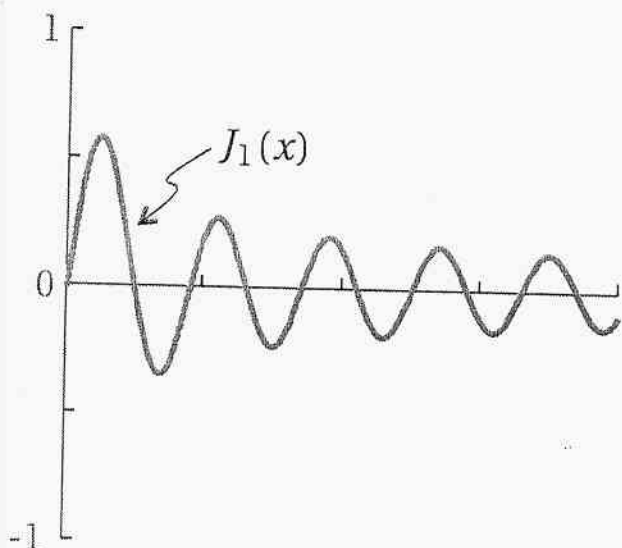
$$\Rightarrow x = \frac{2 I z}{2 D} = I \cdot \left(\frac{z}{2 D} \right)$$

Právě intenzita srážky na stimulu
bez použití optiky získáme tak, že
argument Besselovy funkce η vynásobíme
faktorem $\frac{2 z}{D}$ a tím získáme prostorovou
souladnost x (resp. ϕ) s vzdálostí

ne x (případně ne y) pod výnosem prostorové
právě intenzity.

(10)

Ma' podobny' průběh jako sin s fází
kolem, že 1. minimum je v $1,22\pi$

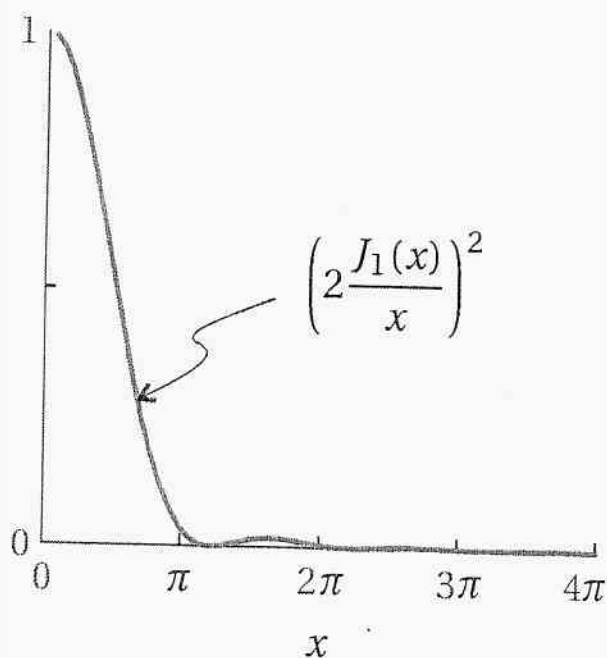


Besselova funkce

1. rádu

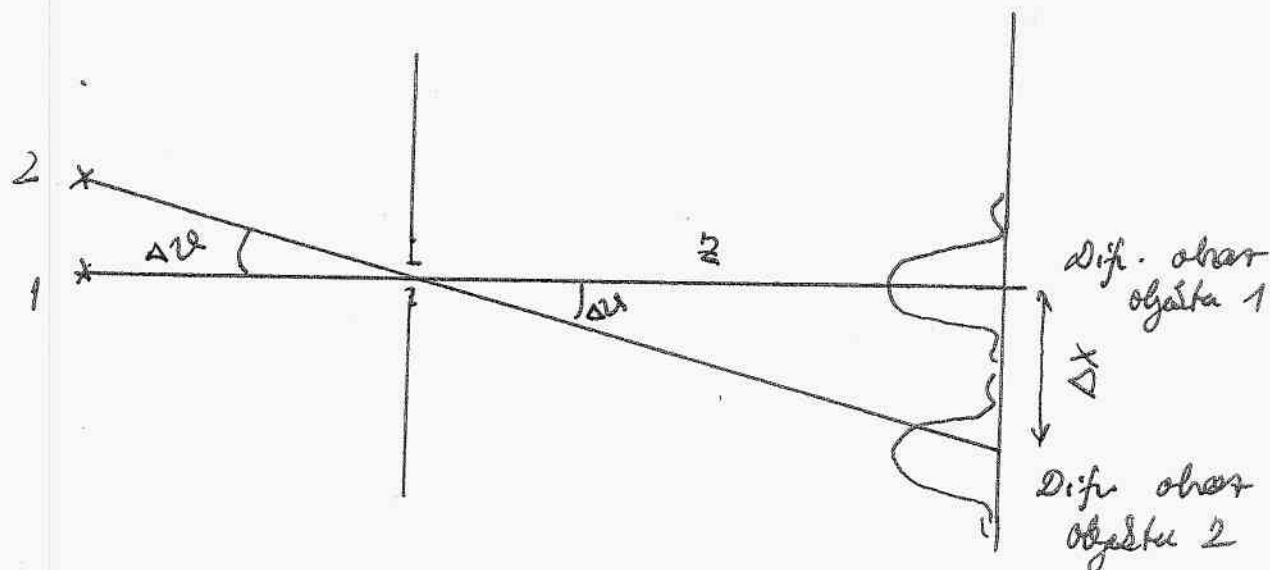
$$\eta = \frac{kD\rho}{2z}$$

$x = \text{střed} = \eta$
podle náročo
označení!



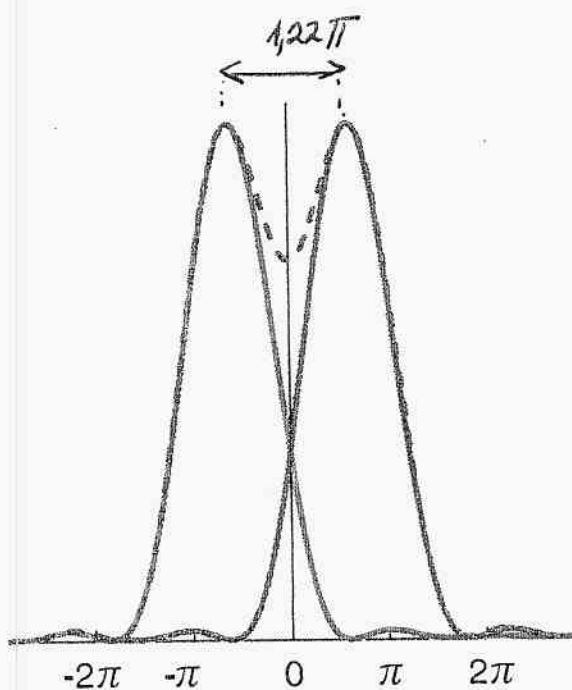
11

? když lze rozložit difracené obrazy 2 bodů
z obarvaných kráhom aperturou?



$$\Delta v = \frac{\Delta x}{z}$$

$$\Delta x = z \cdot \Delta v$$



Rayleighho kritérium
rozlišitelnost 2 bodů
při difracci na
kráhom aperturě

$$\Delta n = \frac{2D}{\lambda} \operatorname{tg} \alpha = \frac{2\pi}{\lambda} \cdot \frac{D}{2} \operatorname{tg} \alpha = 1,22 \frac{\pi}{\lambda} \quad (12)$$

$$\Rightarrow \operatorname{tg} \alpha = 1,22 \frac{\lambda}{D} = \Delta \lambda$$

(v apodávkou můžeme uklidit)

Dva objektivní můstky mohou mít různé délky, je-li jejich úhlopříčky rovné měřit na $1,22 \frac{\lambda}{D}$, když je délka můstku delší než délka světla a D je průměr drahové difrakčního světla
(např. D objektiva optického přístroje)

Guru můstek je D, tedy můstek je úhlopříčkový měření minimální rozlišitelnosti uhel

Hubbleův teleskop $\therefore D = 2,4 \text{ m}$

Další možnost - zdroj červený λ - např. elektronová mikroskopie. De-Broglieho sloučitelnost elektronu - satelitů na jeho hybnosti:

$$\lambda = \frac{h}{p} = \frac{h}{mv} \quad \text{pro } E = 1 \text{ eV} \quad m = 2 \times 10^{-30} \text{ kg} \\ \lambda = 3,6 \times 10^{-10} \text{ m}$$

Příklad - s použitím Babinetova principu (29)
 vypočtejte průběh intenzity světla za kruhovou
 polarizaci (no ote 2)

Rешение - Видим, что за края отражения от зеркала
 прůběh intenzity el. pole obnáší také
 $E_0 (e^{ikz} - e^{i\frac{2}{D}z \sqrt{(\frac{D}{2})^2 + z^2}})$

Z Babinetova principu plyne
 → průběh pole za stínkem

$$\begin{array}{c} \text{||||} \\ \text{Průkazka} \end{array} \quad \begin{array}{c} \text{|||} \\ \text{Obr} \end{array} \quad + \quad \begin{array}{c} \text{|||} \\ \text{T} \end{array} \quad = \quad \begin{array}{c} \text{||||} \\ \text{Rozinsonova ohn} \end{array}$$

$$\Rightarrow \begin{array}{c} \text{||||} \\ \text{Průkazka} \end{array} \quad \begin{array}{c} \text{|||} \\ \text{Obr} \end{array} \quad = \quad \begin{array}{c} \text{||||} \\ \text{Rozinsonova ohn} \end{array} \quad - \quad \begin{array}{c} \text{|||} \\ \text{T} \end{array}$$

tento výsledek zahrnuje
 & minuleho případu

$$\Rightarrow E(0,0,z) = E_0 e^{ikz} - E_0 [e^{ikz} - e^{i\frac{2}{D}z \sqrt{(\frac{D}{2})^2 + z^2}}]$$

$$= E_0 e^{i\frac{2}{D}z \sqrt{(\frac{D}{2})^2 + z^2}}$$

$$I \sim E_0 E_0^* = E_0^2$$

Tj. v místechu středu za
 kruhovou polarizací je
 intenzita stejná jako intenzita
 obecnější, méně

Historická poznámka

V 19. století probíhal spor o podstatu světla (slnka' nebo čisticová?)

Francouzská akademie ned vylíčila soutěž na určení podstaty světla.

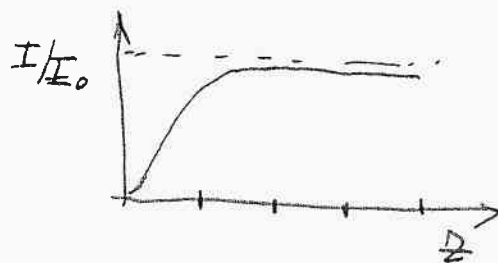
Do soutěže se přihlásil Fresnel s vlnovým modelem světla

Teoretik Simon Poisson Fresnelovu teorii prostudoval a prokázal ji za dýky. Zdůvodnil to tím, že podle ní by v geometrickém stínu za kruhovou metáženou může vzniknout světlo! Skvěl, což nebylo pozorováno. Prezident komise Dominique Arago rozhodl o překonadu a novela přemíření, při kterém byla Poissova predložená teorie schválena objevena. Fresnel získal cenu. Je dalo se o neznámý doktor slnka' podstaty světla. Tyto dívčiny přičinily vzniku světla' skvěly je interferencia paprsků mimo optiku, která je díky kruhové symetrii na optice' oze z konstruktivní!

Při této výpočtech jsou relevantní: v
Kirchhoff Fresnelově integrále směrový faktor

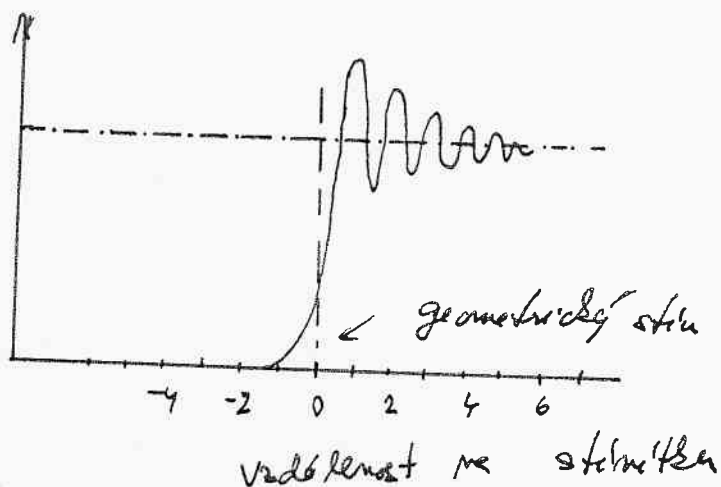
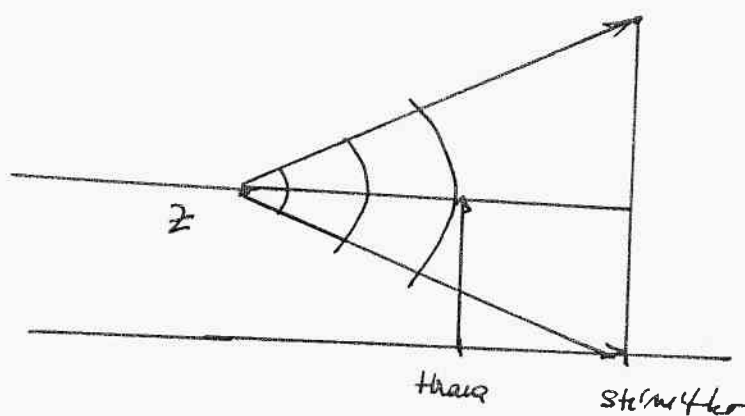
(14)

Při jeho započetí (numericky) vypadá
následující průběh intenzity vzdáleného zdroje
z \propto Základním sférickém



fj. do vzdáleného zdroje za sférickem
intenzita postupně roste a blíží se malému násobku hodnoty $I \sim E_0^2 = I_0$

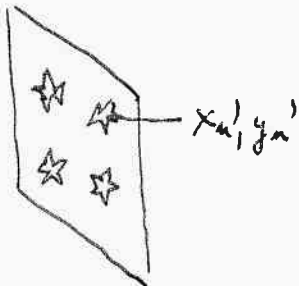
Fresnelova difrakce na hraně



Nyní můžeme i aperiťory N

(15)

Nevyrobíme obecný vztah pro difrakci na N identických aperiťorách obecného tvaru - teorii array teorie



N apertur v masece s identickým rozložením pole $E_{AP}(x', y', 0)$

Pozice n-té aperiťory je dáná souřadnicemi (x_n', y_n')

Pole v daleké aperiťorě je pak

$$E_{AP}(x' - x_n', y' - y_n', 0)$$

$$E(x', y', 0) = \sum_{n=1}^N E_{AP}(x - x_n', y - y_n', 0)$$

Počítáme Frauenhoferov difrakční formulou pro

$$E(x', y', z) = -i \cdot \frac{e^{ikz}}{\lambda} e^{i\frac{k}{2z}(x'^2 + y'^2)} \sum_{n=1}^N \int dx' \int dy' E_{AP}(x' - x_n', y' - y_n', 0) e^{i\frac{k}{z}(xx' + yy')}$$

$$E_{AP}=0 \text{ mimo pole } (x_n', y_n')$$

Daleké pohledy zařízení proměnných

$$x'' = x' - x_n' \quad y'' = y' - y_n'$$

$$E(x', y', z) = -i \cdot \frac{e^{ikz}}{\lambda} e^{i\frac{k}{2z}(x'^2 + y'^2)} \sum_{n=1}^N \int dx'' \int dy'' E_{AP}(x'' + x_n', y'' + y_n', 0) e^{i\frac{k}{z}(x''(x'' + x_n') + y''(y'' + y_n'))}$$

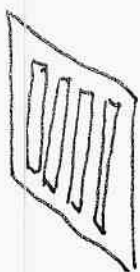
Dále přeneseme faktor $e^{-i\frac{k}{z}(xx_n' + yy_n')}$ před integrál. (16)

$$E(x,y,z) = \left[\sum_{n=1}^N e^{-i\frac{k}{z}(xx_n' + yy_n')} \right] \cdot \left[-\frac{i}{\pi} \frac{e^{ikz}}{z} e^{i\frac{k}{2z}(x^2+y^2)} \right].$$

$$\cdot \int_{-\infty}^{+\infty} dx'' \int_{-\infty}^{+\infty} dy'' E_{AP}(x'',y'',0) e^{-i\frac{k}{z}(xx''+yy'')}$$

Druhá [] představuje Fraunhoferova difrakce
na jedné aperturě umístěno v $x''=y''=0$

Difrakční mřížka



Pozice apertur

$$x_n' = (n - \frac{N+1}{2}) do \quad y_n' = 0$$

N p. celkový počet sloupců

Současné 1. zákonky

$$\begin{aligned} \sum_{m=1}^N e^{-i\frac{k}{z}(xx_m' + yy_m')} &= \sum_{m=1}^N e^{-i\frac{k}{z}do \cdot m} \cdot e^{i\frac{2dox}{z}(\frac{N+1}{2})} = \\ &= e^{i\frac{2dox}{z}(\frac{N+1}{2})} \cdot e^{-i\frac{2dox}{z}} \frac{e^{-i\frac{2dox \cdot N}{z} - 1}}{e^{-i\frac{2dox}{z} - 1}} \end{aligned}$$



Součet geometrické
řady o N členech

$$= l : \frac{kd_{0x}N}{2z} + i \frac{2d_{0x}}{2z} - ; \frac{2d_{0x}}{2} \cdot l \cdot \frac{-i \frac{kd_{0x}N}{2z}}{l - i \frac{2d_{0x}}{2z}} \cdot \frac{\left(l - i \frac{2d_{0x}N}{2z} - 2 \right) \frac{i \frac{2d_{0x}N}{2z}}{2z}}{\left(l - i \frac{2d_{0x}}{2z} - l \cdot i \frac{2d_{0x}}{2z} \right)}$$

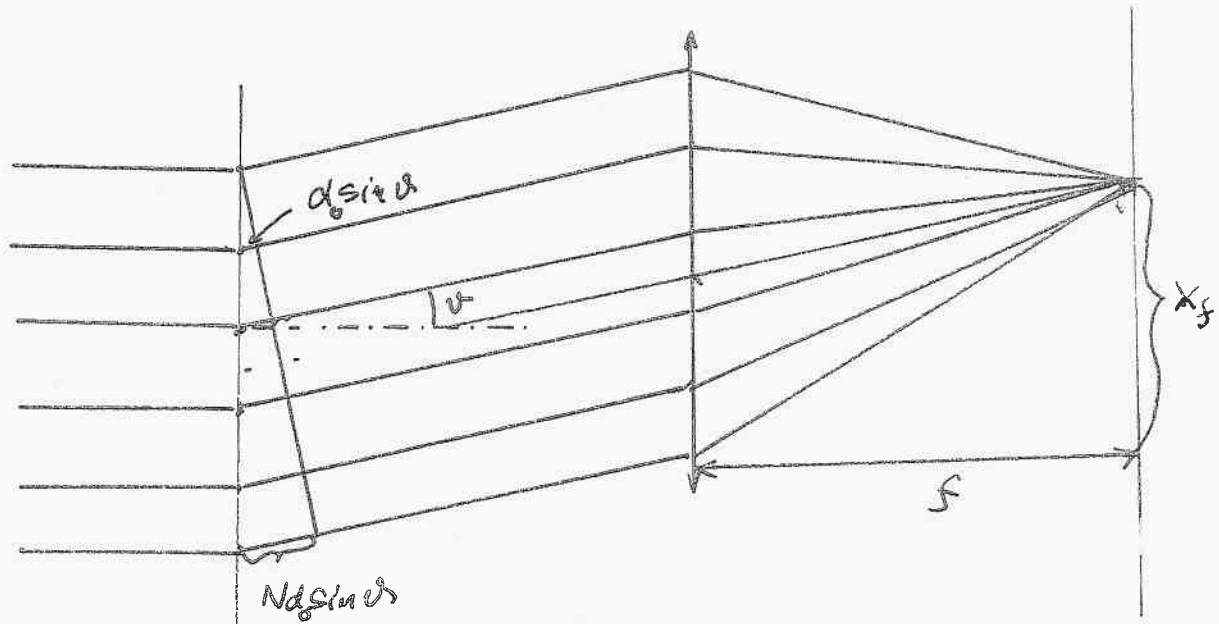
$$= \frac{l - i \frac{kd_{0x}N}{2z} - e^{i \frac{2d_{0x}N}{2z}}}{l - i \frac{2d_{0x}}{2z} - e^{i \frac{2d_{0x}}{2z}}} \cdot \frac{\sin \frac{N d_{0x}}{2z}}{\sin \frac{2 d_{0x}}{2z}}$$

Fázeme $\delta = \frac{2d_{0x}}{z}$

$$I(x, y/z) = \frac{\sin^2 \frac{N\delta}{2}}{N^2 \sin^2 \frac{\delta}{2}} \cdot N^2 I_0 \underbrace{\frac{a^2 b^2}{\lambda^2 z^2} \sin^2 u \sin^2 v}_{\text{faktor}}$$

dif. mřížka
(rozložení apertury)

přijaté od jednoapertury
zařízení na framu - zde pro
obdélníkový návrh s rozložením
 a, b



Vlastnosti funkce $F(\delta) = \frac{\sin^2 \frac{N\delta}{2}}{N^2 \sin^2 \frac{\delta}{2}}$

Obmíslové
novina
coeky

Periodicité s periodou 2π

(18)

Hlavni' maxima $\sin \frac{\delta}{2} = 0 \quad \frac{\delta}{2} = 0, \pm \pi \pm 2\pi$

je - $\delta = 2n\pi$ je $\sin N \cdot \frac{\delta}{2} = \sin n\pi \delta = 0$

Hodnota funkce $\frac{\sin N \cdot \frac{\delta}{2}}{N \sin \frac{\delta}{2}}$ ~ Hlavni'

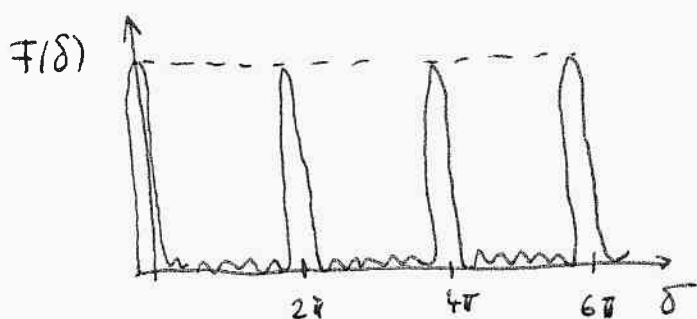
maximoch $\delta = 2n\pi$ proto vysledne pomoci'
de'Hospitalova pravidlo

$$\lim_{\delta \rightarrow 2n\pi} \frac{\sin N \frac{\delta}{2}}{N \sin \frac{\delta}{2}} = \lim_{\delta \rightarrow 2n\pi} \frac{\frac{d(\sin N \frac{\delta}{2})}{d\delta}}{N \frac{d(\sin \frac{\delta}{2})}{d\delta}} = \lim_{\delta \rightarrow 2n\pi} = \frac{1}{N} \frac{N}{2} \frac{2 \cos \frac{N\delta}{2}}{\cos \frac{\delta}{2}} =$$

$$= \lim_{\delta \rightarrow 2n\pi} \frac{\cos N \pi}{\cos \pi} = \pm 1$$

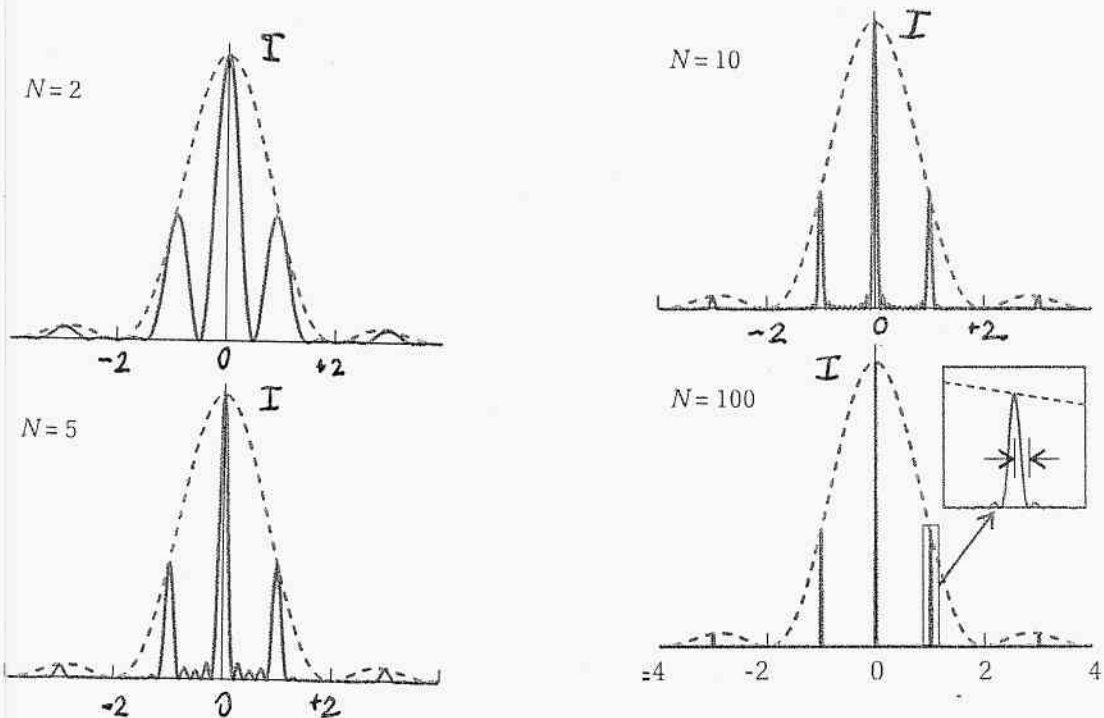
$$\Rightarrow \lim_{\delta \rightarrow 2n\pi} \frac{\sin^2 N \frac{\delta}{2}}{N^2 \sin^2 \frac{\delta}{2}} = 1$$

$$F(\delta) = \frac{\sin^2 N \frac{\delta}{2}}{N^2 \sin^2 \frac{\delta}{2}}$$



79

Difrakce na difrakční mřížce s ručníkem
počtem výpruh



Na ose \times je výsledek $I = \frac{1}{N} + \frac{N-1}{N} \cos^2 \left(\frac{\pi \delta}{\lambda} \right)$

Výsledný průběh intenzity je dán modulací funkce $F(\delta)$ intenzion difrakce na oddělené řadu otvorů.

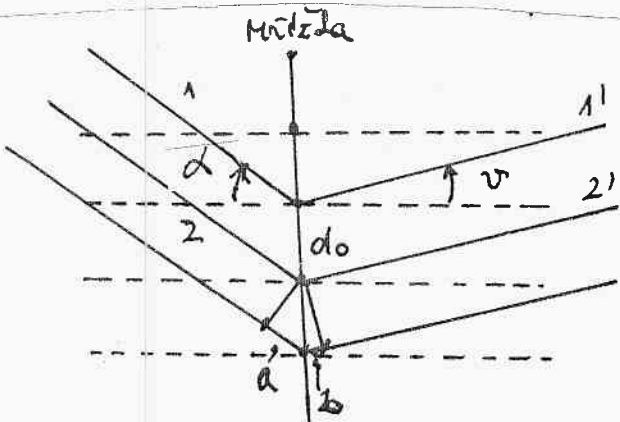
(20)

Závislost polohy blízové maxime difracční mřížky na úhlu α

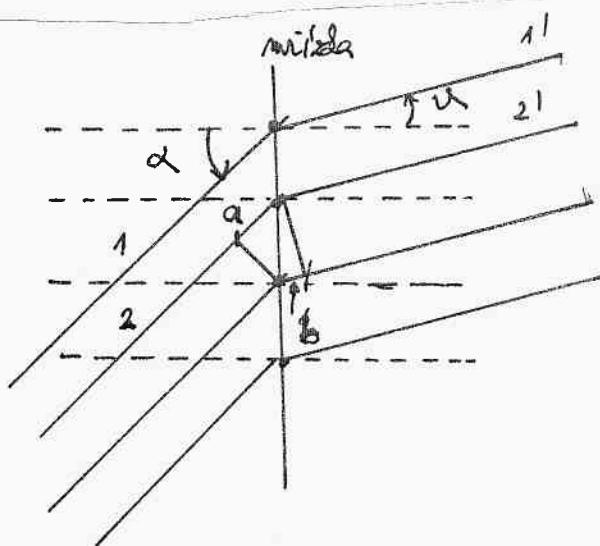
uspořádání na průchod

A

$$\alpha, \nu \in [0, \frac{\pi}{2}]$$



B



a) ... $\text{do} \sin \alpha$ dráhy' rozdíl
 $\text{kdo} \sin \beta$ fázový rozdíl

Paprsek 1 dopadne dráhu než paprsek 2, vlnoplocha 1 se stříží z mřížky dráhu než v případě paprsku 2.

\Rightarrow dráhy' rozdíly se sčítají!
 Při použití orientovaných úhlů
 $\alpha < 0, \nu > 0$

$$\text{do} \sin \alpha - \text{do} \sin \beta = m\lambda$$

$$\text{kdo} \sin \alpha - \text{kdo} \sin \beta = 2m\pi$$

Podmínky maxima

\Rightarrow Zároveň soust. druh
 pro $\alpha < 0, \nu > 0$

Paprsek 1 dopadne' později než paprsek 2, ale vlnoplocha 1 se sříží z mřížky dráhu než vlnoplocha 2.

$$\text{Zde } \alpha > 0, \nu > 0$$

$$\text{do} \sin \alpha - \text{do} \sin \beta = m\lambda$$

$$\text{kdo} \sin \alpha - \text{kdo} \sin \beta = 2m\pi$$

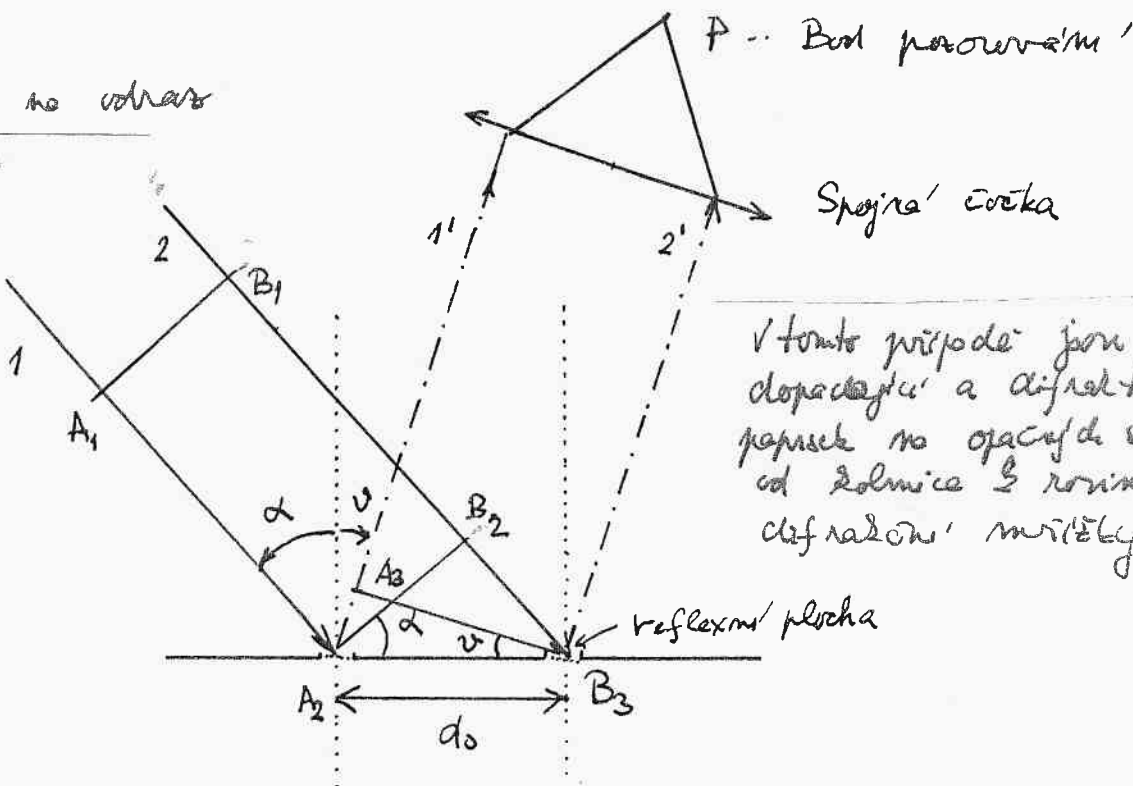
Podmínky maxima

Zároveň' rozdíle druh
 pro $\alpha > 0, \nu > 0$

Difrakční mřížka - uspořádání na vrstvách
otvary jsou na kreslených reflexních plochách

(27)

Difrakce na vrstvách



V tomto případě jsou dopadající a difrakovaný paprsek na opačné straně od základnice v rovině difrakční mřížky

Značeníkova konvence - uhel mřížky od základnice dopadu proti směru hodinových ručiček je $\alpha > 0$, ne směru hodinových ručiček < 0

t.j. $\alpha > 0$, $\beta < 0$ pro případ natahování na chalze

Dražkovy rovnice celkové

$$d \sin \alpha + d \sin \beta = m\lambda$$

Dražkovy rovnice
je odčítají

$$\Rightarrow d \sin \alpha > 0 \quad d \sin \beta < 0$$

Máme dvě rovnice

$$d \sin \alpha + d \sin \beta = m\lambda \quad - \text{Podmínka maximu}$$

O. tří difrakčních vrstv se nachází nejméně odráženého paprsku $\sin \alpha = -\sin \beta$

$$\alpha = -\beta \quad (\text{zákon odrazu})$$